

## § 22.5. Картинны поля в круглом резонаторе

Сравнивая выражения (14.33) — (14.38) для составляющих поля электрического типа в круглом волноводе с выражениями (22.9) — (22.14) для составляющих поля в резонаторе и провода аналогичное сравнение формул (14.51) — (14.56) и (22.23) — (22.28) для волн магнитного типа, можно установить, что характер изменения поля вдоль координат  $r$  и  $\varphi$  в резонаторе такой же, как и в волноводе. Аналогично прямоугольным резонаторам необходимость соблюдения граничных условий приводит к тому, что электрическое и магнитное поля в объемном резонаторе смещаются относительно друг друга на четверть длины волны по сравнению с положением полей в волноводе. Поэтому картину поля в объемном резонаторе нетрудно построить по известной картине поля в волноводе с индексами  $m$  и  $n$ , соответствующими волнам в резонаторе.

На рис. 22.2 и 22.3 в качестве примера показаны картины поля волн основных типов  $E_{010}$  и  $H_{111}$ .

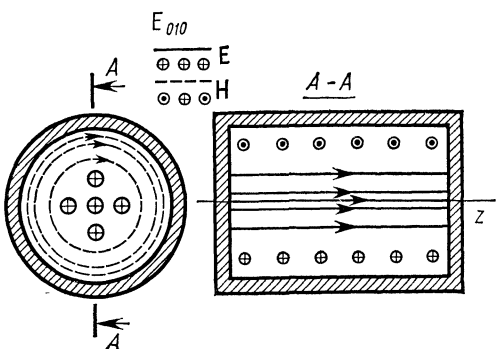


Рис. 22.2

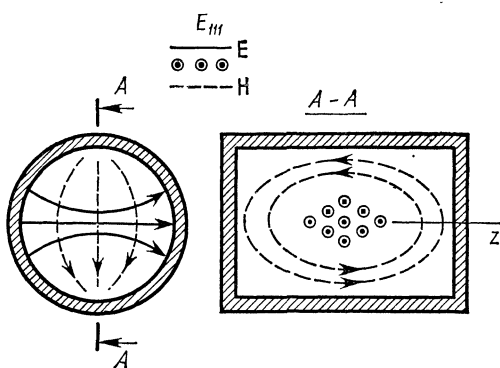


Рис. 22.3

## ГЛАВА 23 ОБЪЕМНЫЙ РЕЗОНАТОР, СОЗДАННЫЙ НА БАЗЕ КРУГЛОГО КОАКСИАЛЬНОГО ВОЛНОВОДА

### § 23.1. Постановка вопроса

Обычно при работе с коаксиальными волноводами используют волны типа Т, при которых критическая частота уменьшается до нулевого значения. Объемные резонаторы, построенные на базе таких волноводов, также используют волны типа Т. Эти резонаторы, широко применяемые в диапазоне дециметровых волн и короткой части метрового диапазона, будут рассмотрены в настоящей главе.

## § 23.2. Вывод выражений для составляющих поля в коаксиальном объемном резонаторе, работающем на волнах типа Т

Рассмотрим коаксиальный резонатор (рис. 23.1), который представляет собой отрезок коаксиального волновода, закороченного по перечной металлической пластины в плоскости  $z=0$  и разомкнутого на расстоянии  $l$  от закорачивающей плоскости.

Допустим, что со стороны открытого конца волновода в нем возбуждается электромагнитное поле, перемещающееся со скоростью света в направлении закорачивающей плоскости, т. е. в сторону отрицательных значений оси  $z$ . Дойдя до закорачивающей плоскости, это поле отражается и перемещается в сторону положительных значений оси  $z$ . Суммарное поле в резонаторе представляет собой суперпозицию падающей и отраженной волн.

В § 15.2 были выведены соотношения (15.4), (15.9) для составляющих поля падающей волны в коаксиальном волноводе, распространяющейся в направлении положительных значений оси  $z$ .

В рассматриваемом случае падающая волна распространяется в сторону отрицательных значений оси  $z$ , поэтому в выражениях (15.4) и (15.9) знак в показателе степени следует изменить на обратный. Составляющие поля падающей волны в резонаторе при этом записываются в виде

$$\dot{H}_{\varphi n} = \frac{i_0}{2\pi r} e^{j\beta z}, \quad (23.1)$$

$$\dot{E}_{rn} = \sqrt{\frac{\mu_a}{\epsilon_a}} \cdot \frac{i_0}{2\pi r} e^{j\beta z}. \quad (23.2)$$

Отраженная волна распространяется в сторону положительных значений оси  $z$ , вследствие чего знак перед показателем степени должен быть сохранен таким, как в выражениях (15.4), (15.9). Кроме того, в плоскости  $z=0$  должны быть соблюдены граничные условия у поверхности идеального металла — равенство нулю тангенциальных составляющих суммарного электрического поля. Составляющая  $\dot{E}_{rn}$  падающей волны и аналогичная составляющая  $\dot{E}_{ro}$  отраженной волны в сумме должны дать нуль в плоскости  $z=0$ , что возможно, если составляющая отраженного поля будет записана в форме

$$\dot{E}_{ro} = -\sqrt{\frac{\mu_a}{\epsilon_a}} \cdot \frac{i_0}{2\pi r} e^{-j\beta z}. \quad (23.3)$$

При этом суммарное электрическое поле в резонаторе определяется соотношением

$$\dot{E}_{rp} = \dot{E}_{rn} + \dot{E}_{ro} = \sqrt{\frac{\mu_a}{\epsilon_a}} \cdot \frac{i_0}{2\pi r} \times (e^{j\beta z} - e^{-j\beta z}). \quad (23.4)$$

В силу справедливости равенства

$$\frac{e^{j\beta z} - e^{-j\beta z}}{2j} = \sin(\beta z) \quad (23.5)$$

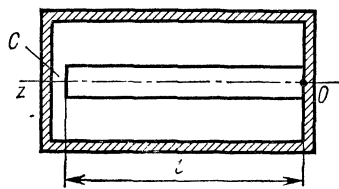


Рис. 23.1

формулу (23.4) можно представить в ином виде:

$$\dot{E}_{rp} = 2j \sqrt{\frac{\mu_a}{\epsilon_a}} \cdot \frac{i_0}{2\pi r} \sin(\beta z). \quad (23.6)$$

При  $z=0$   $\dot{E}_{rp}=0$  и граничные условия удовлетворяются.

Далее найдем выражение для суммарного магнитного поля в резонаторе

$$\dot{H}_{\varphi p} = \dot{H}_{\varphi n} + \dot{H}_{\varphi o}.$$

В соответствии с граничными условиями это поле должно существовать в плоскости  $z=0$ , что возможно, если составляющая отраженного поля будет записана в форме

$$\dot{H}_{\varphi o} = \frac{i_0}{2\pi r} e^{-j\beta z}. \quad (23.7)$$

Тогда

$$\dot{H}_{\varphi p} = \frac{i_0}{2\pi r} (e^{j\beta z} + e^{-j\beta z}). \quad (23.8)$$

В силу справедливости равенства

$$\frac{e^{j\beta z} + e^{-j\beta z}}{2} = \cos(\beta z) \quad (23.9)$$

выражение для суммарного магнитного поля запишется таким образом:

$$\dot{H}_{\varphi p} = 2 \frac{i_0}{2\pi r} \cos(\beta z). \quad (23.10)$$

Это выражение удовлетворяет граничным условиям в плоскости  $z=0$ .

Найдем разность потенциалов между внутренним стержнем и внешней оболочкой в заданном сечении  $z$  коаксиального резонатора:

$$\begin{aligned} U &= \int_{r_1}^{r_2} \dot{E}_{rp} dr = \int_{r_1}^{r_2} 2j \sqrt{\frac{\mu_a}{\epsilon_a}} \frac{i_0}{2\pi r} \sin(\beta z) dr = 2j \sqrt{\frac{\mu_a}{\epsilon_a}} \cdot \frac{i_0}{2\pi} \sin(\beta z) \int_{r_1}^{r_2} \frac{dr}{r} = \\ &= 2j \sqrt{\frac{\mu_a}{\epsilon_a}} \cdot \frac{i_0}{2\pi} \sin(\beta z) \ln \frac{r_2}{r_1}. \end{aligned} \quad (23.11)$$

Далее определим ток в заданном сечении резонатора. Для этого используем закон полного тока вида (1.72) и выражение (23.10) для суммарного магнитного поля в резонаторе:

$$\begin{aligned} i &= \oint_{l_1}^{l_2} \dot{H}_{\varphi p} dl = \int_0^{2\pi} 2 \frac{i_0}{2\pi r} \cos(\beta z) r d\varphi = \\ &= \frac{i_0}{\pi r} \cos(\beta z) r 2\pi = 2i_0 \cos(\beta z). \end{aligned} \quad (23.12)$$

Разделив  $\dot{U}$  на  $\dot{I}$ , получаем характеристическое сопротивление коаксиального резонатора:

$$Z_{cp} = \frac{\dot{U}}{\dot{I}} = j \sqrt{\frac{\mu_a}{\epsilon_a}} \cdot \frac{\dot{I}_0 \sin(\beta z) \ln \frac{r_2}{r_1}}{\pi 2 \dot{I}_0 \cos(\beta z)},$$

или

$$Z_{cp} = j \sqrt{\frac{\mu_a}{\epsilon_a}} \ln \frac{r_2}{r_1} \cdot \frac{1}{2\pi} \operatorname{tg}(\beta z). \quad (23.13)$$

При  $\operatorname{tg}(\beta z) > 0$  характеристическое сопротивление  $Z_{cp}$  имеет индуктивный характер, при  $\operatorname{tg}(\beta z) < 0$  — емкостный характер. Выбирая  $z$  таким образом, чтобы характеристическое сопротивление было индуктивным, можно определить величину эквивалентной индуктивности  $L_{eqv}$ , обладающей на резонансной частоте таким же сопротивлением:

$$j\omega_p L_{eqv} = j \sqrt{\frac{\mu_a}{\epsilon_a}} \ln \frac{r_2}{r_1} \cdot \frac{1}{2\pi} \operatorname{tg}(\beta z),$$

или

$$\omega_p L_{eqv} = \sqrt{\frac{\mu_a}{\epsilon_a}} \ln \frac{r_2}{r_1} \cdot \frac{1}{2\pi} \operatorname{tg}(\beta z). \quad (23.14)$$

Если к разомкнутому концу резонатора подсоединить конденсатор с сосредоточенной емкостью  $C$  так, как показано на рис. 23.2, то система будет представлять собой параллельный колебательный контур. Частоту собственных колебаний такого контура определяют с помощью известного соотношения  $\omega_p L_{eqv} = 1/(\omega_p C)$ . Подставляя значение  $\omega_p L_{eqv}$  из формулы (23.14), получаем

$$\frac{1}{\omega_p C} = \sqrt{\frac{\mu_a}{\epsilon_a}} \ln \frac{r_2}{r_1} \cdot \frac{1}{2\pi} \operatorname{tg}(\beta z),$$

откуда резонансная частота

$$\omega_p = \frac{1}{C \sqrt{\frac{\mu_a}{\epsilon_a} \ln \frac{r_2}{r_1} \cdot \frac{1}{2\pi} \operatorname{tg}(\beta z)}}. \quad (23.15)$$

Если необходимо определить емкость  $C$ , которая требуется для получения заданной резонансной частоты  $\omega_p$ , то формулу (23.15) следует переписать в виде

$$C = \frac{1}{\omega_p \sqrt{\frac{\mu_a}{\epsilon_a} \ln \frac{r_2}{r_1} \cdot \frac{1}{2\pi} \operatorname{tg}(\beta z)}}. \quad (23.16)$$

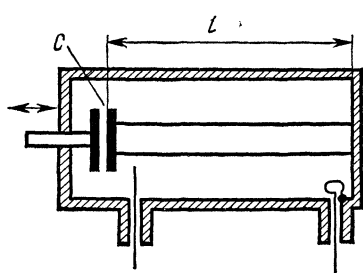


Рис. 23.2

Преимуществами описанного резонатора являются простота и замкнутость. Электромагнитное поле существует внутри замкнутого объема. Связь ре-

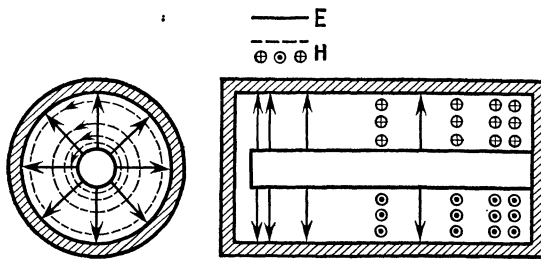


Рис. 23.3

зонатора с внешними устройствами осуществляется посредством штырей или петель (см. рис. 23.2). На рис. 23.3 показана картина электрического и магнитного полей в коаксиальном резонаторе.

## ГЛАВА 24

### ОБЪЕМНЫЙ РЕЗОНАТОР, СОЗДАННЫЙ НА БАЗЕ Н-ОБРАЗНОГО МЕТАЛЛОДИЭЛЕКТРИЧЕСКОГО ВОЛНОВОДА МЕДЛЕННЫХ ВОЛН

#### § 24.1. Постановка вопроса

В § 16.4 был описан Н-образный металлодиэлектрический волновод медленных волн, представляющий собой реальный волновод медленных волн, созданный на базе диэлектрической пластины. В настоящей главе будет показано использование подобного волновода в качестве объемного резонатора, работающего на медленных волнах. Схематический вид резонатора показан на рис. 24.1.

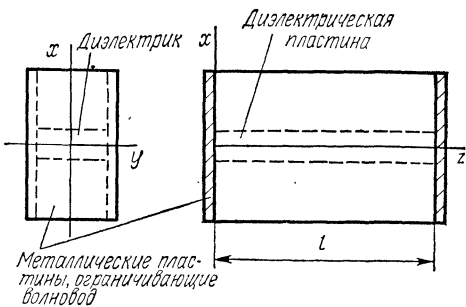


Рис. 24.1

#### § 24.2. Вывод соотношений для составляющих поля магнитного типа в Н-образном металлодиэлектрическом волноводе медленных волн

Рассматриваемый волновод работает на волнах магнитного типа с составляющими поля  $\dot{H}_x$ ,  $\dot{E}_y$ ,  $\dot{H}_z$ . Оси координат расположены так, как показано на рис. 16.4. В § 16.2 были получены формулы (16.5)–(16.7) для составляющих поля внутри пластины и (16.17)–(16.19) — для составляющих поля вне пластины (в воздухе) в случае волн электрического типа.

Составляющие поля волн магнитного типа нетрудно определить